

II-12 長方形港湾泊地の不規則振動について

京都大学工学部 正員 岩瀬雄一
京都大学工学部 正員 ○村江士

1. はじめに： 大規模港湾の開発、計画等に際し、港湾内に生ずる波の諸特性を明確に把握しておく必要がある。とくに港湾内に長周期の波浪が進入した場合には港湾特有の振動を起こし、船舶その他の港湾施設に被害をもたらす原因にもなりかねない。このように港湾振動を生じさせる長周期の波浪に、比較的波高の大きい短周期の波浪が乗るような場合には、港湾内に異常に大きい波高が生ずることも予想され、従来の規則波を対象とした考え方では港湾振動の特性を十分説明しえない場合が少なくてない。本研究は2成分合成波を用いて、港口が全開した長方形港湾泊地の不規則振動周波数を調べ、規則波の振動特性と比較検討し、合成波によって生ずる非規則性の効果を見い出すとしたものである。

2. 実験方法： 実験水槽は幅50cm、高さ70cm、長さ約30mの両面ガラス張りで、一端に造波板が設置されている。造波板から22.75mの位置に湾軸と水槽の中心線が一致するように、アクリル製港湾模型を設置し、湾長を0～80cmまで自由に変化できるようにして。造波板は8個のピストンからなり、各ピストンの周期のせんがたんに $1:\sqrt{2}$ の関係になっている。実験を通じて水深は10cmとした。

実験順序は、組合わすべき各ピストンによる単一波（規則波）の実験後、つづいて2種類の場合について合成波の実験を行なった。1) 長周期波として $T_1 = 20\text{sec}$ 、短周期波として $T_2 = 0.707\text{sec}$ の波の合成。この場合には、合成して際に下の2次周波数成分が下の成分周期と重なることを避け、各成分の波の変化を明確に分離できるようにして。2) 長周期波として $T_1 = 2.0\text{sec}$ 、短周期波として $T_3 = 1.0\text{sec}$ の波の合成。この場合、下の2次周波数成分の下の周波数と一致し、各成分周期を明確に分離することができぬか、1) では下の2次の共振ピークが下の1次の共振ピークとほぼ等しくなるため、合成して際に下の成分波は下の影響を受けることが予想されるので、2) では、 T_3 の共振ピークが下のそれと重ならないようにして。同時に共振波がそれそれ離れていくも、合成波の波が重ければ、下の共振特性および下の共振特性がどのように変化するかを調べようとした。

長周期波の波高は2次波峰が発生しない約3mmの波である。波高の測定は長周期波が造波板から反射して模型に到達するまで計測し、データレコーダーに記録し、周波数分析を行ない、各測定の波高を求めた。

3. 実験結果および考察： 湾軸上の任意長の波高と港口を用いたときの港口位置での波高（以下基準波高と呼ぶ）との比を波高増幅率 R と定義する。また、 $T_1 = 20\text{sec}$ と $T_2 = 0.707\text{sec}$ に関する実験を実験I、 $T_1 = 2.0\text{sec}$ と $T_3 = 1.0\text{sec}$ に関する実験を実験IIと呼ぶことにする。一般に港湾の共振モードには図-1 のように表わすことができ、湾長 l を0～80cm変化させると、 $T_1 = 2.0\text{sec}$ の波では(a) に、 $T_2 = 0.707\text{sec}$ の波では(c)～(c')の範囲に、 $T_3 = 1.0\text{sec}$ の波については(a)～(b)

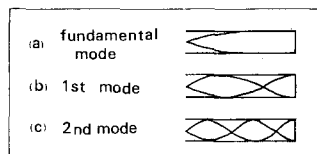


図-1 共振モード

の範囲にわたり変化する。以下実験IとIIについて考察する。

実験I) 図-2は湾奥の変化にともなう湾奥の波高変化を調べたものである。横軸に湾長 l と水深 h の比 R 、縦軸に R をとっている。図中の●印および○印は規則波、○印および△印は合成波の各成分波による振動特性を示している。 $T_1=2.0\text{ sec}$ による共振長さは $l/h=4.3$ ($l=43\text{ cm}$) R は約3.4(入射波高の約6.8倍)になる。一方、 $T_1=0.707\text{ sec}$ の波による共振長さは $l/h=1.0, 4.1, 7.2$ 付近になり、 R はそれぞれ約3.2, 2.7, 2.6になる。図中では T_1 に依らず合田およびMiles and Munkの理論による共振長さを入れてあるが、外海の条件が異なるので必ずしも一致しない。 R に依らずも理論におけるエネルギー損失を考慮していないこともあって、合田の理論およびMiles and Munkの理論ではそれぞれ R が6.48および4.87になり実験値よりもはるかに大きい。

合成波の成分波に関して、 T_1 の場合の共振長さ付近で規則波と異なる様相を示し、 T_2 の第1次ピークおよび第3次ピークの近傍でも規則波の場合とわずかに異なる。しかし、 T_2 の共振場にあたる近傍を除けば、波を合成しても減衰性が維持されることわかる。 T_2 の場合は第2次、第3次ピークにおいて從い減衰が著しくなってくる。入射波の周期が港内に近づくにつれ、波高が増大し、入射波が微小振幅波であっても、共振場の付近では有効な高波になり、2倍周波数成分の波が現われる。合成波の場合には、他に各成分周波数の和および差の周波数をもつ拘束波と呼ばれる一定の振幅の波が現われる。図-3および図-4はそれぞれ湾長 l の変化にともなう拘束波の変化および合成波を周波数分析したときに現われる2倍周波数成分波の変化を図-1と同様で示している。図-3によれば、 T_1 および T_2 の共振場で顕著なピークが現われ、和の成分は T_1 の共振場で卓越し、差の成分は T_2 の共振場付近で、ことに T_2 の第3次ピークにあたる場で基準波高と同程度になるとわかる。図-4から各成分波の共振場が現出すところでのみ2倍周波数成分波が現出し、 T_1 の場合に基準波高の $1/2$ すなわち入射波高程度の波が現われている。 T_2 については共振の第1次ピークでのみわずかにからこの成分の波が現われている。上述のことから、とくに T_2 の場合には共振場にはかなりの非線形の効果が作用していることがわかる。

実験II) 図-5は実験Iと同様の方法で規則波および合成波の場合について湾長 l の変化とともに

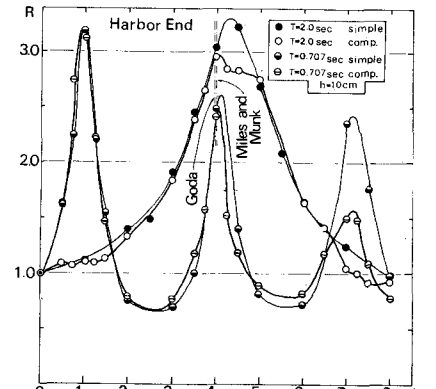


図-2 湾奥の振動特性

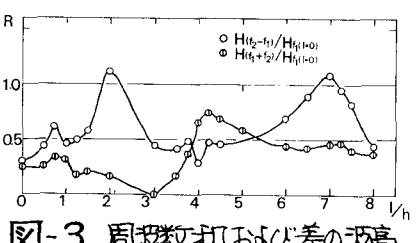
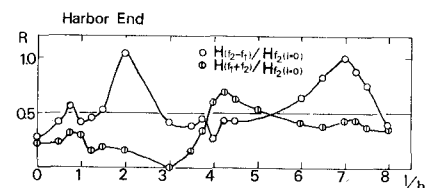


図-3 周波数和および差の波高変化

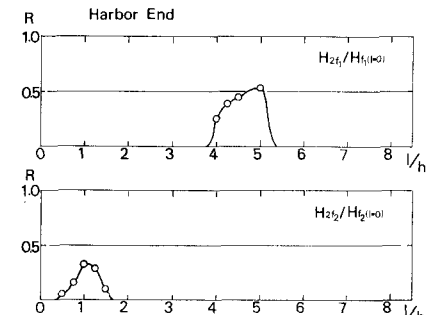


図-4 T_1 および T_2 成分波の2倍周波数成分波の変化

はう寒風の波高変化を示したものである。図中の●印、○印および△印、□印はそれぞれ規則波および合成波の各成分波を表わしている。 $T_1 = 2.0\text{ sec}$ の規則波については実験Ⅰと同様であり、 $T_3 = 1.0\text{ sec}$ の波について規則波による共振長さ/λを求めると、1.75 および 6.5 の近傍にあり、波高倍率 R はそれより 3.8 および 3.2 程度の値となる。合成波の下成波をみると共振点では規則波に比し、 R が 1.2 倍程度大きくなっている。また、それが 1.75 の近傍でも規則波とは相当に異なる構造を示し、それが 6~8 の範囲で全く規則波とは相違する。 T_3 の分波では規則波に近づいていくが、それが 3.5 から 7.5 の範囲、すなわち T_3 の共振点付近を除けば、比較的傾向はよく一致している。図-6 は T_1 および T_3 の規則波に対する 2 倍周波数成分の波高変化を示したものである。実験Ⅰでも述べたように共振点の近傍では 2 倍周波数成分の波が現われ、非線型の効果が入ってくることがよくわかる。しかもその程度は最大、基準波高の 10% 程度である。

図-7 は図-3 と同様な方法で周波数の和の成分を求めてものである。それが 6.5 から 7 の範囲では R が最大 1.5 にもなっている。この原因についてよくわからぬが、図-5 のそれが 6~8 の範囲では合成波の下成波が規則波の振動特性と異なることから判断して、和の成分の効果が加わりたものと考えられる。なお、和の成分は T_3 の波の 3 倍周波数に相当し、規則波の T_3 の波の解釈の際にもそれが 6~8 の範囲で基準波高の 10% 程度の波高が現われることが認められ、このよう大きな違いにならぬのか知ればよい。

周波数の差の成分については T_3 の周期と一致し、差の成分波のみをとり出すことが不可能である。図-5 の下成波について考えると、 T_3 の共振点の近傍で規則波の振動特性と比較して、 R が 1.2 倍程度大きくなっている。差の成分が加えられたものと考えられる。また、それが 1.5~2.0 の範囲に限って、 T_3 の共振点にあたる付近で規則波の振動特性と異なるのは、差の成分の効果がかなり大きく効いたものと思われる。この範囲で T_3 の成分波高が小さくなっているのである。差の成分がエネルギーが移行したのであろう。 T_3 の成分波全般にわたり規則波の振動特性と異なっている

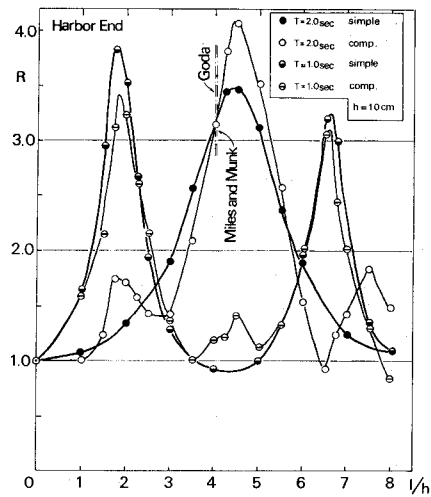


図-5 湾奥の振動特性

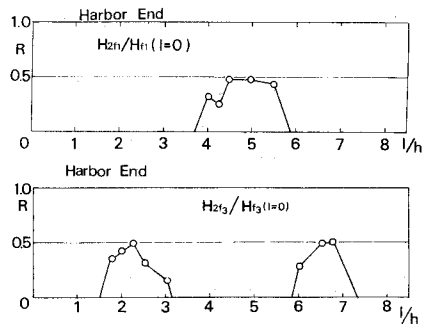


図-6 2倍周波数成分波の変化(規則波)

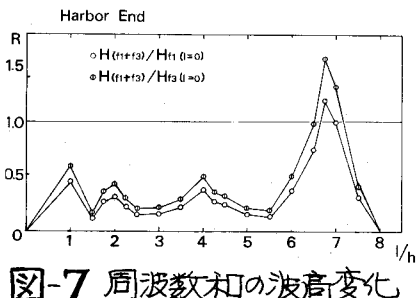


図-7 周波数和の波高変化

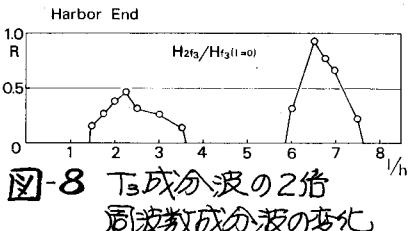


図-8 T_3 成分波の 2 倍周波数成分波の変化

のもの、この差の成因の効果が微少に振動特性に影響を与えたものと思われる。

図-8は合成波に衝するT₃成波の2倍周波数成分の変化を示したものであり、規則波に衝するT₃の2倍周波数成分と同様、T₃の共振長のみに現われている。共振長の第1次ピークに相当するところでは規則波の場合と同程度、第2次ピークではより基準高橋度である。

T₃の2倍周波数成分の周波数ヒークとして、独立にとりだすことができない。しかし、図-5から、T₃の共振長の近傍で、T₃の波高増幅率Rの値が1.5程度大きくなっていることから、T₃の2倍周波数成分が加えられることがわから。

4. 港口部の考察：図-9および図-10はそれぞれ実験IおよびIIに衝する港口部の解析結果を示したものである。図中の各印は図-2および図-5のそれらと対応している。図-9からT₃の共振長にあたるしひか4.3のとき、港口部(node)にむらす、しひか5で最小値をとっている。MilesとMunkが港口が全席の場合、節の位置は共振長よりややだいじ、井側になると示したが、彼らの理論でもしひか $l=40.91\text{cm}$ 、 $\Delta l=7.84\text{cm}$ になり、本実験においても約7cm程度である。しひか5でも節になる位置は港口よりも井側にむらす。しかも外海に相当する領域が木橋の倒壁で隔離されているため、港口の部分で水槽の幅方向にも振動(横振動)し、それは遠周期波ほど激しくなる。しひか0.75では木橋倒壁で水面変動がほとんどなく、港口で着しい水面変動を生じ、しひか1.5では、逆に港口で変動がなく、木橋倒壁近くで変動が著しい横振動が認められる。これらの横振動の影響により共振長でも港口で節にならず、Rが1.8程度の大きい値を示したものと思われる。実験IIの場合においても、上述の実験Iと同様な傾向が認められた。

5. あとがき：規則波および2成波合成波に衝する実験を行はって、共振特性が種々異なることを示した。とくに合成波の場合には、波の干渉による非線型の効果が顕著にあらわれることがわかった。規則波については、合田あおのMilesとMunkの理論値と比較したが、いつれの場合も波高増幅率を過大にみつめ、工学的に重要なこの値の過疎は評価が今後の研究の課題である。

最後に、本研究は文部省特定研究および英政府による研究の一環であることを付記する。

- 参考文献
- 1) 浜田博一：表面波の2次干涉、第11回沿岸工学講演会講演集、昭. 39.
 - 2) Miles, J., Munk, W : Harbor paradox , Proc. A.S.C.E. WWB, 1961

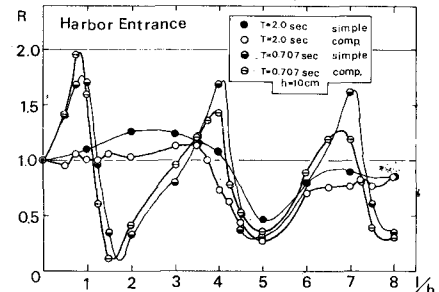


図-9 実験Iにおける湾口の振動特性

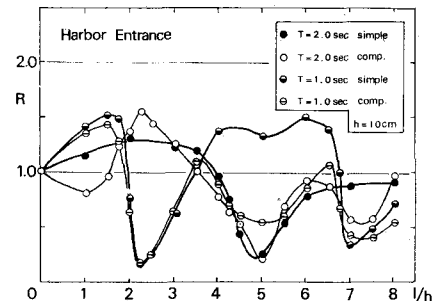


図-10 実験IIにおける湾口の振動特性